

## تعیین اثرات ثانویه جزر و مد اقیانوسی روی سطح زمین در ایران

سید روح الله عمامی<sup>۱</sup>، مهدی نجفی علمداری<sup>۲</sup>، مهرداد سبزواری<sup>۳\*</sup>

- ۱- عضو هیئت علمی گروه مهندسی نقشه‌برداری، دانشگاه آزاد اسلامی، واحد تهران جنوب، پست الکترونیکی:  
[rs\\_emadi@yahoo.com](mailto:rs_emadi@yahoo.com)
- ۲- دانشیار گروه هیدرولوگرافی، دانشگاه آزاد اسلامی، واحد تهران شمال، پست الکترونیکی:  
[mnajalm@yahoo.com](mailto:mnajalm@yahoo.com)
- ۳- دانشجوی کارشناسی ارشد هیدرولوگرافی، دانشگاه آزاد اسلامی، واحد تهران شمال، پست الکترونیکی:  
[mehrdadsabzevari@ymail.com](mailto:mehrdadsabzevari@ymail.com)

تاریخ پذیرش: ۹۱/۲/۱۳

\* نویسنده مسؤول

تاریخ دریافت: ۱۴/۹/۱۴

© نشریه علمی - پژوهشی اقیانوس‌شناسی ۱۳۹۱، تمامی حقوق این اثر متعلق به نشریه اقیانوس‌شناسی است.

### چکیده

نیروی جاذبه حاصل از بالا آمدن سطح آب در دریاها باعث ایجاد تغییرات ثانویه‌ای در حدود چندین سانتی‌متر در سطح زمین می‌شود. اگرچه این تغییرات نسبت به اثرات مستقیم جزر و مدی بسیار ناچیز هستند، اما با توجه به روش‌های دقیق تعیین موقعیت ماهواره‌ای در سطح زمین (دقیق میلی‌متری)، مانند GPS و VLBI اعمال تصحیحات فوق در مراحل پردازش اطلاعات ضروری به نظر می‌رسد.

در این مقاله با استفاده از یک مدل جهانی جزو مردم اقیانوسی به نام TPX0.6.2، دامنه‌ی تغییرات اثرات ثانویه برای ۱۰ مولقه اصلی جزر و مدی اقیانوسی شامل:  $M_f, M_m, K_1, O_1, P_1, Q_1, M_2, S_2, N_2, K_2$  در منطقه‌ی ایران محاسبه و ارائه شده است. نتایج عددی نشان می‌دهند بیشترین مقدار اثرات ثانویه جزو مردم در نواحی دریای عمان و در حدود ۲/۳ سانتی‌متر است.

کلمات کلیدی: جزر و مد اقیانوسی، اعداد لاؤ، تایید گیج، ارتفاع سنجی ماهواره‌ای، هارمونیک‌های کروی.

### ۱. مقدمه

آنها نیروی جاذبه اجرام سماوی است. ماه و خورشید به ترتیب مهمترین اجرام سماوی تاثیرگذار بر زمین هستند. این اجسام به واسطه‌ی جرم‌شان و به نسبت فاصله‌ای که از زمین دارند، طبق قانون جاذبه‌ی نیوتونی، نیروی جاذبه،  $\bar{F}_A$  را بر هر نقطه در داخل و یا سطح زمین اعمال می‌نمایند. این نیروی جاذبه را می‌توان به دو مولقه تجزیه کرد، قسمت اول نیروی جاذبه‌ای که بر مرکز جرم زمین اعمال می‌شود،  $\bar{F}_C(\bar{r}_A)$  و باعث حرکت دورانی زمین می‌گردد و قسمت دوم نیروی باقیمانده از تفاضل نیروی جاذبه بر هر نقطه و نیروی جاذبه بر مرکز ثقل زمین،  $\bar{F}_C(\bar{r}_A)$  -

زمین به عنوان جسمی غیر صلب در اثر نیروهای تغییر شکل دهنده دچار تغییر شکل می‌شود، یعنی موقعیت نقاط زمین نسبت به مرکز ثقل آن تغییر می‌یابد. بدلیل پیوستگی نقاط در سطح و درون زمین، این تغییر شکل دارای پیوستگی بوده و شامل تمامی نقاط در یک محدوده می‌شود. میزان این تغییر شکل‌ها به دلیل موقعیت‌های مختلف نقاط، متفاوت است. نیروهای متعددی باعث تغییر شکل در سطح زمین می‌گردند که مهمترین

در این مقاله مقادیر تغییرات شعاعی برای اثرات بارگذاری جزر و مدار برای هشت مؤلفه اصلی آن شامل:  $K_1, O_1, P_1, Q_1, M_2, S_2, N_2, K_2$  که با استفاده از مدل‌های جزر و مدار و روش انتگرال‌گیری مستقیم برای منطقه نیوزلند محاسبه شده است.

## ۲. مؤلفه‌های جزر و مدار

پتانسیل میدان نیروی جزر و مدار برای مؤلفه‌های دوم آن را می‌توان به صورت رابطه (۱) نوشت (ونیچک و کراکیوسکی، ۱۹۸۶):

$$W_2 \approx D \left[ \begin{array}{l} \cos^2 \phi \cos^2 \delta \cos 2h + \sin 2\phi \sin 2\delta \cosh + 3 \\ \left( \sin^2 \phi - \frac{1}{3} \right) \left( \sin^2 \delta - \frac{1}{3} \right) \end{array} \right] \quad (1)$$

در رابطه (۱) داریم:

$D$ : ثابت دودسون جرم سماوی (ماه - خورشید)

$\phi$ : عرض زئودیکی نقطه‌ی مورد نظر

$\delta$ : میل جرم سماوی (ماه - خورشید)

$h$ : زاویه ساعتی جرم سماوی (ماه - خورشید)

رابطه (۱) نشان می‌دهد که جمله‌ی دوم پتانسیل جزر و مدار شامل سه جمله با پریودهای نیمروزه، روزانه و بلند مدت است، که هر کدام از این جملات شامل جملات مختلفی هستند. در این قسمت ۱۰ مؤلفه عمده‌ی جزر و مدار که بیشترین تاثیرات را دارند مورد بررسی قرار گرفته است. در جدول (۱) این مؤلفه‌ها و پارامترهای مربوط به آنها آورده شده است (اگنیو، ۲۰۰۷).

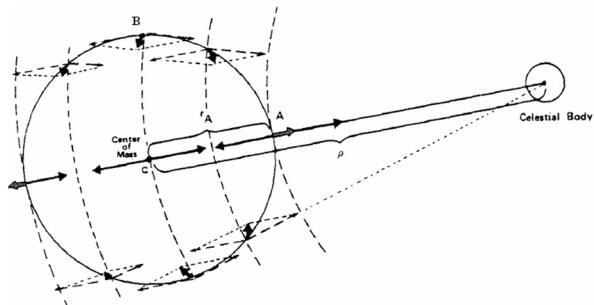
جدول ۱- مؤلفه‌های عمده جزر و مدار

مؤلفه جزر و مدار	عدد دودسون	فرکانس (cpd)	دامنه (متر)
$M_f$	.۷۵/۵۵۵	.۰/۷۳۲-۰۲	-.۰/۶۶۶۱
$M_m$	.۶۵/۴۵۵	.۰/۷۳۹۹۶	-.۰/۰۵۱۸
$K_1$	۱۶۵/۵۵۵	۱/۰-۰۷۳۷۹	.۰/۳۶۸۶۴
$O_1$	۱۴۵/۵۵۵	.۰/۹۲۹۵۷	-.۰/۴۲۲۲۳
$P_1$	۱۶۳/۵۵۵	.۰/۹۷۷۶۲۱	-.۰/۱۲۱۹۹
$Q_1$	۱۳۵/۵۵۵	.۰/۸۹۳۲۴۴۱	-.۰/۰۵۰۲۱
$M_2$	۲۵۵/۵۵۵	.۰/۹۳۳۷۷۶	.۰/۶۳۲۲۱
$S_2$	۲۷۳/۵۵۵	۲/.....	.۰/۲۹۴۱۱
$N_2$	۲۴۵/۶۵۵	۱/۸۹۵۸۷۲۰	.۰/۱۲۱۰۵
$K_2$	۲۷۵/۵۵۵	۲/۰-۰۵۷۵۸	.۰/۰۷۹۹۱

## ۳. مدل‌های جهانی جزر و مدار

برای محاسبه اثر بارگذاری جزر و مدار، به یک مدل جزر و مدار با پوشش جهانی نیاز است، که در این خصوص مدل‌های

که آن را نیروی جزر و مدار  $\bar{F}_t(\bar{r}_A)$  می‌نامند. این نیروها در شکل (۱) نشان داده شده است.



شکل ۱- نیروی جاذبه اجرام سماوی و نیروی جزر و مدار

نیروی جزر و مدار،  $\bar{F}_t(\bar{r}_A)$  باعث به وجود آمدن تغییراتی در سطح زمین می‌گردد، که این تغییرات در خشکی‌ها به شکل بردارهای جاذبایی حداکثر در حدود چندین دسی‌متر و در اقیانوس‌ها به شکل بالا آمدن سطح آب در حدود چندین متر است. جاذبه‌ی حاصل از جرم آب بالا آمده در دریاها باعث ایجاد تغییرات ثانویه‌ای در سطح پوسته‌ی زمین می‌گردد، که این تغییرات نیز به صورت جاذبایی‌های شعاعی و مسطحاتی قابل مشاهده هستند، که تغییرات مسطحاتی نقاط به مراتب بسیار کوچکتر از تغییرات ارتقایی آنها است. فارل اولین بار در دهه ۱۹۷۰ میلادی با استفاده از یک مدل جهانی جزر و مدار و بر اساس تعیین مدلی برای عکس العمل زمین تحت تاثیر نیرویی با زمان اثر کوتاه، اثر بار حاصل از جاذبایی آب روی نقاط ساحلی را محاسبه و ارائه نمود. برنامه‌ی رایانه‌ای بسیار جامعی برای تعیین تغییرات شعاعی پوسته‌ی زمین بدلیل بار حاصل از جزر و مدار توسط اگنیو در سال ۱۹۹۶ میلادی تهیه شده است. در ایران نیز یکی از مهمترین تحقیقات انجام شده در این رابطه توسط اردلان، صفری و سلمی در سال ۱۳۸۶ با عنوان بررسی اثر غیر مستقیم جزر و مدار بر پوسته و میدان جاذبه‌ی زمین در مناطق ساحلی ایران بر اساس روش استاندارد فارل و استفاده از انتگرال‌های گرین برای ۵۳ نقطه ساحلی دریای عمان و خلیج فارس، برای مؤلفه M2 محاسبه و ارائه شده است. همچنین تحقیقات ارزشمند دیگری نیز در خصوص اثرات جزر و مدار بر پوسته زمین در دنیا انجام گرفته، که در زیر به چند نمونه از آنها اشاره می‌گردد. ماتسوموتو و همکاران (۲۰۰۱)، کلارک و لاوالی (۲۰۰۵)، اورشل و داج (۲۰۰۵)، هیروشی و همکاران (۲۰۰۶) و درک و روی (۲۰۰۲) که

توابع گرین (اردلان و همکاران، ۱۳۸۶) است. روش فوق هنگامی که هدف تعیین اثرات ثانویه جزر و مدي در تعداد محدودی از نقاط مورد نظر باشد، از قابلیت خوبی برخوردار است (اگنیو، ۲۰۰۷). در این روش در صورتی که  $Z$  دامنه مولفه جزر و مدي در لحظه‌ی مورد نظر باشد، پتانسیل جاذبه‌ی آب ناشی از جزر و مد را می‌توان به صورت رابطه (۲) نوشت:

$$W_W(\vec{r}_A) = -G \iint_S \frac{Z(\vec{r})}{\rho(\vec{r}_A, \vec{r})} \sigma_W dS \quad (2)$$

در رابطه (۲)  $\sigma_W = 1.027 g/cm^3$  (چگالی متوسط آب) و  $\rho(\vec{r}_A, \vec{r})$  فاصله‌ی نقطه محاسباتی از المان انتگرال‌گیری است. محدوده‌ی انتگرال‌گیری تمامی سطح زمین است و در مناطق خشکی دامنه‌ی مولفه‌ی جزر و مدي  $Z=0$  در نظر گرفته می‌شود. با بسطتابع  $(\vec{r}_A)^{-1}$  به سری توابع لزاندر می‌توان رابطه (۲) را به صورت رابطه (۳) نوشت (ونیچک، ۱۹۸۰).

$$W_W(\phi, \lambda) \approx -RG \sigma_W \iint_S Z(\phi', \lambda') \sum_{n=0}^{\infty} P_n(\cos \psi) d\Omega' \quad (3)$$

در رابطه (۳)،  $\psi$  زاویه فضائی بین دو نقطه  $(\phi, \lambda)$  و  $(\phi', \lambda')$  است.

$$\cos \psi = \sin \phi \sin \phi' + \cos \phi \cos \phi' \cos(\lambda - \lambda') \quad (4)$$

با توجه به تساوی رابطه (۵) و جایگذاری آن در رابطه انتگرالی (۴) داریم (ونیچک، ۱۹۸۰):

$$\sum_{n=0}^{\infty} P_n(\cos \psi) = \sqrt{2} \left( 1 - \cos \psi \right)^{-\frac{1}{2}} \quad (5)$$

$$W_W(\phi, \lambda) \approx -\frac{RG\sigma_W}{\sqrt{2}} \iint_S Z(\phi', \lambda') (1 - \cos \psi)^{-\frac{1}{2}} d\Omega' \quad (6)$$

جابجایی ارتفاعی نقاط  $U$  به دلیل جرم آب بالا آمده در اثر جزر و مدي می‌توان با رابطه (۷) بدست آورد.

$$U_I(\phi, \lambda) = \iint_S K^U(\psi) Z(\phi', \lambda') d\Omega' \quad (7)$$

تابع گرین که در انتگرال (۷) استفاده شده است با رابطه (۸) تعیین می‌شود.

جهانی متفاوتی وجود دارد. در جدول (۲) مشخصات کلی تعدادی از این مدل‌ها آورده شده است.

جدول ۲- مشخصات کلی مدل‌های جزر و مدي

مرجع	روزلوشن	داده‌های مورد استفاده	نام مدل
Schwiderski, 1980	$1^\circ \times 1^\circ$	مدل هیدروستاتیکی و داده‌های تایید گج	SCW80
Matsumoto et al., 2000	$0.5^\circ \times 0.5^\circ$	مدل هیدروستاتیکی، داده‌های تایید گج و T/P	NAO.99b
Le Provost et al., 1994	$0.5^\circ \times 0.5^\circ$	مدل هیدروستاتیکی، داده‌های تایید گج	FES94.1
Lefevre et al., 2002	$0.25^\circ \times 0.25^\circ$	مدل هیدروستاتیکی و داده‌های ۷۰۰ تایید گج	FES98
Lefevre et al., 2002	$0.25^\circ \times 0.25^\circ$	مدل FES98 و داده‌های T/P	FES99
Eanes and Bettadpur, 1996	$0.5^\circ \times 0.5^\circ$	مدل FES94.1	CSR4.0
Ray, 1999	$0.5^\circ \times 0.5^\circ$	داده‌های T/P و داده‌های ERS1/2	GOT99
Egbert and Erofeeva, 2002	$0.25^\circ \times 0.25^\circ$	داده‌های T/P و داده‌های تایید گج و T/P	TPX0.6.2

مدل مورد استفاده در این تحقیق TPX06 است. همان‌گونه که در جدول (۲) اشاره شد، این مدل توسط اگبرت (۲۰۰۰) در دانشگاه ایالتی ارگون و با رزلوشن  $0.25^\circ \times 0.25^\circ$  با استفاده از داده‌های ماهواره ارتفاع‌سنجی TOPEX/Poseidon (T/P) در محدوده‌ی عرض‌های جغرافیایی  $60^\circ \pm$  درجه تهیه شده است. همچنین در عرض‌های بالا از داده‌های جزر و مدي نگار استفاده شده است، بدین جهت این مدل از دقیق‌ترین مدل‌های جزر و مدي موجود برای عرض‌های بالا است. مؤلفه‌های جزر و مدي قابل استخراج از این مدل در جدول (۱) آورده شده‌اند.

#### ۴. محاسبه‌ی اثر بارگذاری جزر و مدي اقیانوسی

اولین تلاش در جهت تعیین اثرات ثانویه جزر و مدي توسط فارل در سال ۱۹۷۲ انجام شد، که این روش برای محاسبه اثرات غیر مستقیم جزر و مدي دارای دو مرحله است. مرحله‌ی اول شامل بررسی و مطالعه‌ی یک مدل ساختاری زمین، تعیین عکس‌عمل آن در مقابل بار نقطه‌ای واحد و تعیین مؤلفه‌های مختلف عکس‌عمل زمین از قبیل جابجایی‌های شعاعی، افقی، تغییرات جاذبه و پتانسیل به صورت عددی بر حسب فاصله‌ی زاویه‌ای بین نقطه مشاهداتی و نقطه‌ی اعمال بار است. مرحله‌ی دوم نیز شامل استفاده از مدل جهانی جزر و مدي برای محاسبه ارتفاع لحظه‌ای سطح آب و حل انتگرال کانولوشن با استفاده از

در انتگرال‌گیری عددی برای رسیدن به دقیقی مناسب باید برای نقاط با فاصله  $[0,1]^0 = \psi$  تا نقطه انتگرال‌گیری، قدم‌های  $[0,1]^0 = \psi$  و برای فاصله  $[1,10]^0 = \psi$  قدم‌های  $[0,1]^0 = \psi$  و برای سایر نقاط قدم‌های  $1^0 = \psi$  را در نظر گرفت (اسکراما، ۲۰۰۵). روش دیگری که برای تعیین اثرات ثانویه جزر و مدلی مورد استفاده قرار می‌گیرد، استفاده از ضرایب بسط به هارمونیک‌های کروی دامنه مولفه‌های جزر و مدلی است که اولین با توسط ری (۱۹۸۹) پیشنهاد شد. روش محاسباتی اثرات ثانویه جزر و مدلی در این تحقیق با استفاده از این شیوه است. مهمترین مزیت این روش سرعت بالای آن در محاسبات، خصوصاً در مواردی است که منطقه مورد بررسی بسیار وسیع باشد. در این روش داریم (اگنیو، ۲۰۰۷):

$$H(\theta, \lambda) = \sum_{n=0}^{\infty} \sum_{m=-n}^n H_{nm} Y_{nm}(\theta, \lambda) \quad (12)$$

$H(\theta, \lambda)$ : دامنه مولفه جزر و مدلی در نقطه‌ای با متمم عرض جغرافیایی  $\theta$  و طول جغرافیایی  $\lambda$   
 $H_{nm}$ : ضرایب هارمونیک‌های کروی دامنه مولفه‌ی جزر و مدلی که از رابطه‌ی زیر بدست می‌آید.

$$H_{nm} = \iint_S H(\theta', \lambda') Y_{nm}^* d\Omega' \quad (13)$$

$Y_{nm}(\theta, \lambda)$ : هارمونیک سطحی کروی  
با توجه به تعاریف فوق مقدار جابجایی ارتفاعی ثانویه جزر و مدلی را می‌توان با رابطه (۱۴) به دست آورد (اگنیو، ۲۰۰۷).

$$U_I(\theta, \lambda) = \frac{\sigma_W}{\sigma_E} \sum_{n=0}^{\infty} \sum_{m=-n}^n \frac{3h'_n}{2n+1} H_{nm} Y_{nm}(\theta, \lambda) \quad (14)$$

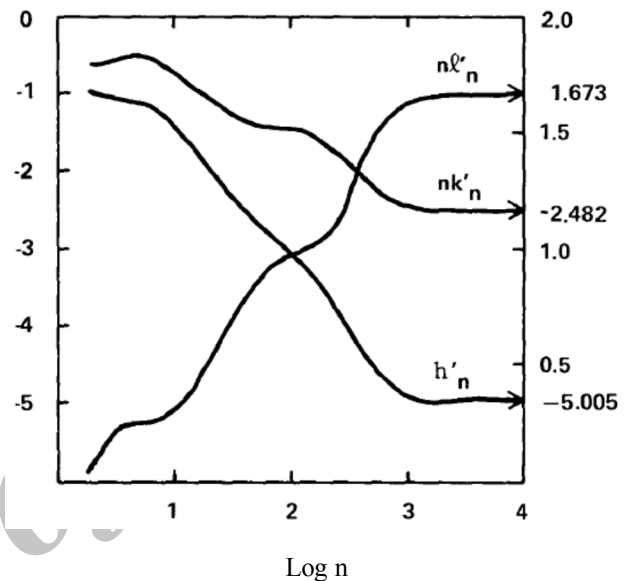
$\sigma_E$ : چگالی متوسط زمین

## ۵. بحث و نتیجه‌گیری

جابجایی‌های ارتفاعی پوسته زمین به وسیله‌ی اثرات ثانویه جزر و مدلی در منطقه ایران به وسیله‌ی مدل جهانی جزر و مدل TPX06 محاسبه و نقشه‌های همدامنه‌ی آن نمایش داده شده است. در جدول (۳)، بیشترین، کمترین، انحراف از معیار و میانگین این تغییرات به طور جداگانه برای هر مولفه آورده شده

$$K^U(\psi) = \frac{R}{M_e} \sum_{n=0}^{\infty} h'_n P_n(\cos \psi) \quad (8)$$

در رابطه (۸)  $M_e$  جرم زمین و  $h'_n$  اعداد لاو بارگذاری هستند. شکل (۲) تغییرات اعداد لاو بارگذاری را نسبت به لگاریتم درجه‌ی آنها نشان می‌دهد.



شکل ۲- اعداد لاو بارگذاری فارل (۱۹۷۲)

شکل (۲) نشان می‌دهد که این اعداد با افزایش مقدار درجه آنها به سمت عدد ثابتی میل می‌نمایند. فارل این مقدار حدی را  $n=10000$  برآورد نموده است. در این حالت می‌توان رابطه (۸) را به صورت رابطه (۹) نوشت:

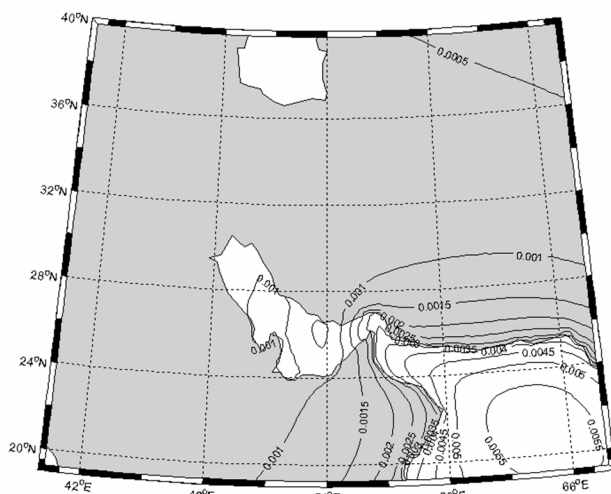
$$K^U(\psi) = \frac{Rh'_\infty}{M_e} \sum_{n=0}^{\infty} P_n(\cos \psi) + \frac{R}{M_e} \sum_{n=0}^{\infty} (h'_n - h'_\infty) P_n(\cos \psi) \quad (9)$$

انتگرال (۷) را در سیستم مختصات قطبی برای لحظه‌ی مورد نظر  $t$  می‌توان به صورت رابطه (۱۰) نوشت:

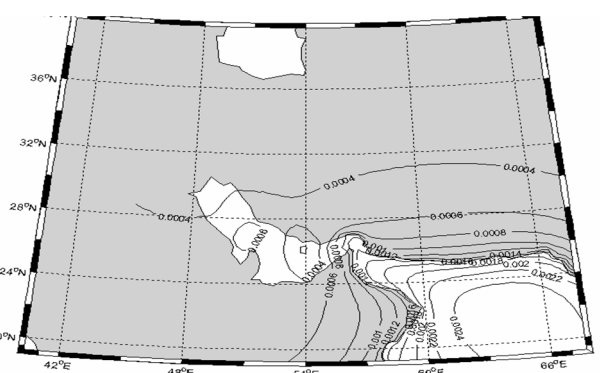
$$U_I(\phi, \lambda, t) = \sigma_W R^2 \iint_0^{2\pi} Z(\phi', \lambda', t) K^U(\psi) \sin \psi d\psi d\alpha \quad (10)$$

ارتفاع مولفه‌ی جزر و مدلی دلخواه را می‌توان بر حسب دامنه  $H$ ، و فاز آن مولفه  $G$ ، به صورت رابطه (۱۱) نوشت (ری، ۱۹۸۹).

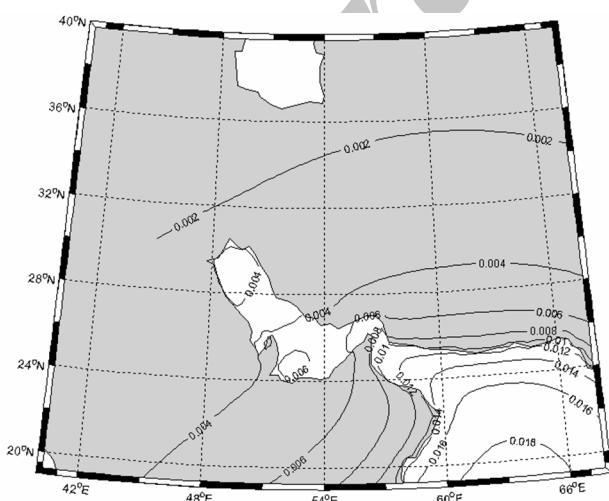
$$Z(\phi, \lambda, t) = H(\phi, \lambda) \cos(\omega t - G(\phi, \lambda)) \quad (11)$$



شکل ۵ - مقادیر دامنه‌ی تغییرات شعاعی پوسته‌ی زمین (بر حسب متر) برای اثرات ثانویه مولفه‌ی جزر و مدی N2

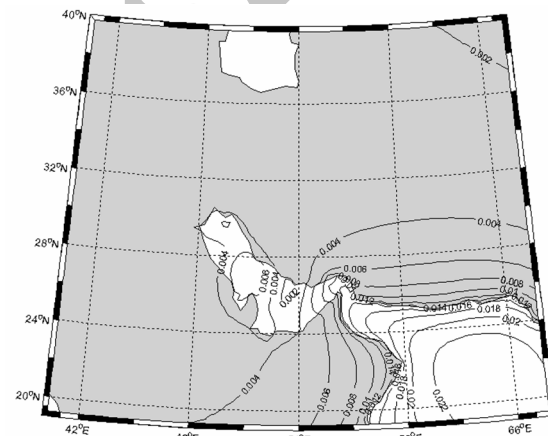


شکل ۶ - مقادیر دامنه‌ی تغییرات شعاعی پوسته‌ی زمین (بر حسب متر) برای اثرات ثانویه مولفه‌ی جزر و مدی K2

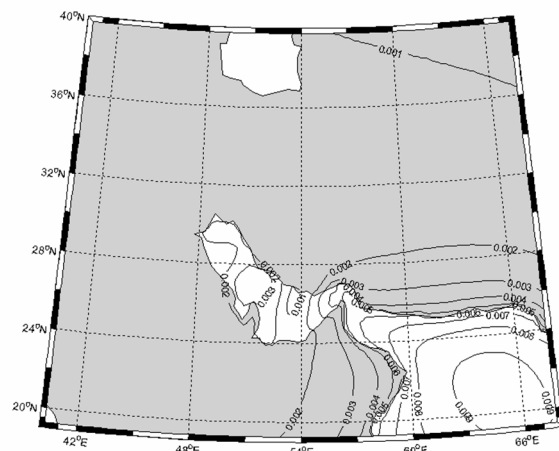


شکل ۷ - مقادیر دامنه‌ی تغییرات شعاعی پوسته‌ی زمین (بر حسب متر) برای اثرات ثانویه مولفه‌ی جزر و مدی K1

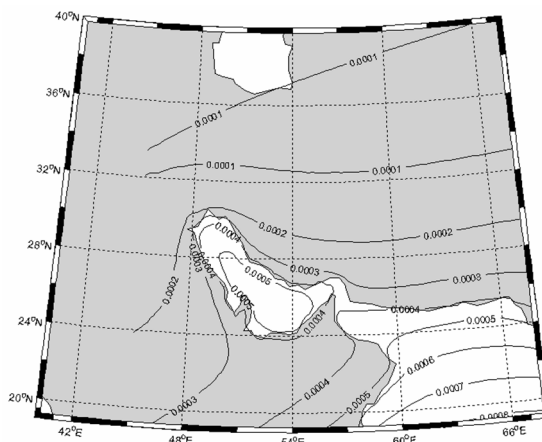
است. نتایج عددی جدول (۳) نشان می‌دهد که بیشترین مقدار این تأثیرات مربوط به مولفه M2 و در حدود ۲/۳ سانتی‌متر است، که محل آن همان‌گونه که در شکل (۳) نشان داده شده در دریای عمان قرار دارد. شایان ذکر است که میزان این تأثیرات در ساحل به مرتب کمتر ارزیابی شده است، همچنین این نتایج نشان می‌دهند که برای رسیدن به دقت‌های در حدود ۱ میلی‌متر باید اثر همه این مولفه‌ها بجز دو مولفه Mf و Mm در نظر گرفته شوند. همچنین یکی از روش‌های مستقل برای کنترل و ارزیابی نتایج عددی به دست آمده، استفاده از مشاهدات دقیق و پیوسته GPS در سواحل است. (برای مطالعه بیشتر می‌توان به اورشل و داچ (۲۰۰۵)، مراجعه کرد. مقادیر دامنه‌ی تغییرات شعاعی پوسته‌ی زمین برای اثرات ثانویه مولفه‌های جزر و مدی در شکل‌های شماره ۳ الی ۱۲ ارائه شده است.



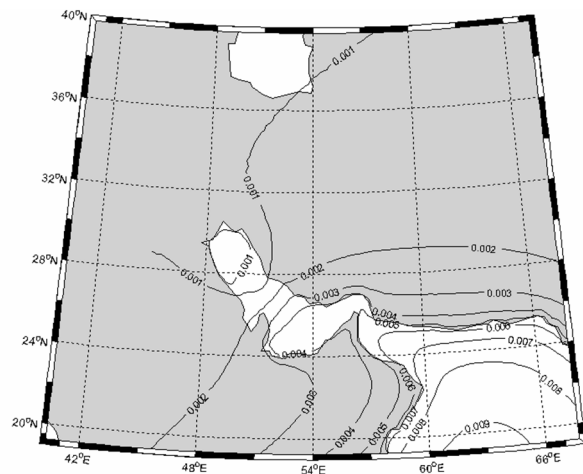
شکل ۳ - مقادیر دامنه‌ی تغییرات شعاعی پوسته‌ی زمین (بر حسب متر) برای اثرات ثانویه مولفه‌ی جزر و مدی M2



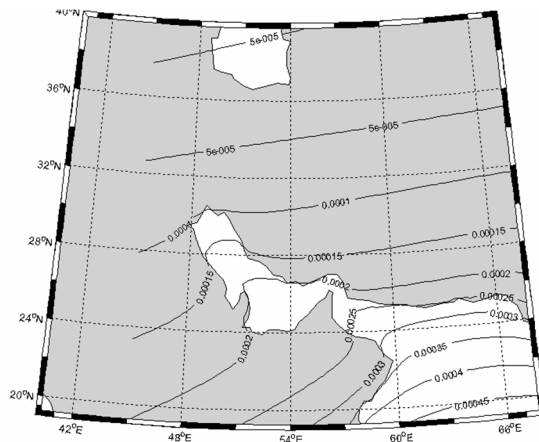
شکل ۴ - مقادیر دامنه‌ی تغییرات شعاعی پوسته‌ی زمین (بر حسب متر) برای اثرات ثانویه مولفه‌ی جزر و مدی S2



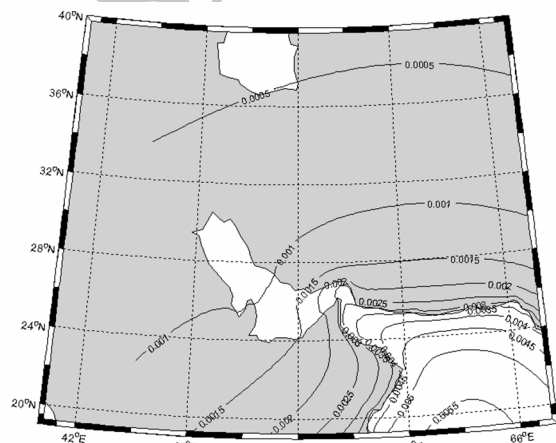
شکل ۱۱- مقادیر دامنه‌ی تغییرات شعاعی پوسته‌ی زمین (بر حسب متر) برای اثرات ثانویه مولفه‌ی جزر و مدي Mf



شکل ۸- مقادیر دامنه‌ی تغییرات شعاعی پوسته‌ی زمین (بر حسب متر) برای اثرات ثانویه مولفه‌ی جزر و مدي O1



شکل ۱۲- مقادیر دامنه‌ی تغییرات شعاعی پوسته‌ی زمین (بر حسب متر) برای اثرات ثانویه مولفه‌ی جزر و مدي Mm



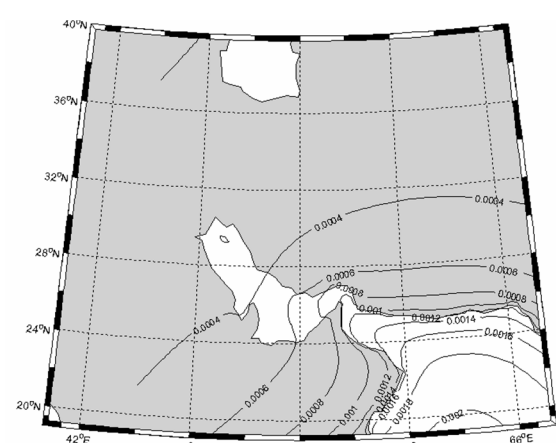
شکل ۹- مقادیر دامنه‌ی تغییرات شعاعی پوسته‌ی زمین (بر حسب متر) برای اثرات ثانویه مولفه‌ی جزر و مدي P1

جدول ۳- مقادیر تغییرات ارتفاعی اثرات ثانویه مولفه‌های جزر و مدي در منطقه ایران

مولفه جزر و مدي	موارد	بیشترین مقدار	کمترین مقدار	مقدار متوسط	انحراف از معيار
	(متر)	(متر)	(متر)	(متر)	(متر)
M2		-/-0.236	-/-0.13	-/-0.053	-/-0.056
S2		-/-0.94	-/-0.052	-/-0.22	-/-0.22
N2		-/-0.57	-/-0.032	-/-0.12	-/-0.14
K2		-/-0.26	-/-0.018	-/-0.09	-/-0.09
K1		-/-0.16	-/-0.075	-/-0.42	-/-0.44
O1		-/-0.92	-/-0.030	-/-0.22	-/-0.21
P1		-/-0.56	-/-0.016	-/-0.13	-/-0.13
Q1		-/-0.20	-/-0.016	-/-0.09	-/-0.06
Mf		-/-0.82	-/-0.047	-/-0.34	-/-0.17
Mm		-/-0.48	-/-0.021	-/-0.13	-/-0.10

## ۶. سپاسگزاری

این تحقیق در قالب طرح پژوهشی به عنوان ردبایی سونامی با استفاده از داده‌های ارتفاع سنجی ماهواره‌ای و با حمایت دانشگاه



شکل ۱۰- مقادیر دامنه‌ی تغییرات شعاعی پوسته‌ی زمین (بر حسب متر) برای اثرات ثانویه مولفه‌ی جزر و مدي Q1

آزاد اسلامی واحد تهران جنوب انجام شده است. همچنین از زحمات سردبیر و داوران محترم مجله که با صرف وقت و بیان راهکارهای مفید در جهت تکمیل مقاله ما را باری نموده‌اند تشکر و قدردانی می‌نماییم.

## منابع

- land water circulation. *Earth Planets Space*, 58: e13–e16.
- Lefevre, F.; Lyard, F.H.; Le Provost, C.; Schrama., 2002. E.J.O, FES99. A global tide finite element solution assimilating tide gauge and altimetric information. *Journal of Atmospheric and Oceanic Technology*, 19:1345–1356.
- Le Provost, C.; Genco, M. L.; Lyard, F.; Vincent, P.; Cancéll, P., 1994. Spectroscopy of the ocean tides from a finite element hydrodynamic model. *Journal of Geophysical Research*, 99(C12): 24777–24797.
- Matsumoto, K.; Takanezawa, T.; Ooe, M., 2000. Ocean tide models developed by assimilating TOPEX/POSEIDON altimeter data into hydro dynamical model: A global model and a regional model around japan. *Journal of Oceanography*, 56:567–581.
- Matsumoto, K.; Takanezawa, T and Ooe, MOoe., 2001. A Program for Computation of Oceanic Tidal Loading Effect, *Journal of Geodesy Society. Japan*, 47: 243-248.
- Ray, R.D., 1999. A global ocean tide model from TOPEX/POSEIDON altimetry: GOT99. Technical Report NASA Tech. Mem. 209478, Goddard Space Flight Centre, Greenbelt, MD, USA.
- Ray, R.D.; Sanchez, B.V., 1989. Radial deformation of the earth by oceanic tidal loading. NASA Tech.Memo TM-100743, Goddard Space Flight Center, Greenbelt, MD, United State 50p.
- Schwiderski, E.W., 1980. On charting global ocean tides. *Reviews of Geophysics and Space Physics*, 18:243–268.
- Urschl, C.; Dach, R., 2005. Validating ocean tide loading models using GPS. *Journal of geodesy*, 78:616-625.
- Vanícek, P.; Krakiwsky, EJ., 1986. Geodesy: The concepts, 2nd corrected edn. North Holland, Amsterdam.
- Vanicek, P., 1980. Tidal correction to geodetic quantities, NOAA Technical Report NOS 83, NGS 14, Rockville, Md, February.
- اردلان، ع.؛ صفری، ع.؛ سلمی، ه.، ۱۳۸۶. بررسی اثر غیر مستقیم جزر و مدی بر پوسته و میدان جاذبه زمین در مناطق ساحلی، *مجله فیزیک زمین و فضا*، دوره ۳۳، شماره ۲، سال ۱۳۸۶، صفحه ۲۰-۱.
- Agnew, D.C., 2007. *Earth Tide*, Elsevier B.V.
- Agnew, D.C., 1996. SPOTL: Some programs for ocean tide loading. SIO Reference series 96-8, scripts institution of oceanography, Woods Hole.
- Clarke, P. J.; Lavalle'e D. A., 2005. Effect of gravitational consistency and mass conservation on seasonal surface mass loading models. *Geophysical Research Letters*, VOL.32, L08306.
- Derek ,G. G.; Roy ,A.W., 2002. Ocean-tide loading and Earth tides around New Zealand. *New Zealand Journal of Marine and Freshwater Research*, Vol. 36: 299–309.
- Eanes, R.; Bettadpur, S., 1996. The CSR3.0 global ocean tide model: Diurnal and semi-diurnal ocean tides from TOPEX/POSEIDON altimetry. Technical Report CRS-TM-96-05, Centre for Space Research, University of Texas, Austin, Texas.
- Egbert, G.D.; Erofeeva, S.Y., 2002. Efficient inverse modeling of barotropic ocean tides, *Journal of Atmospheric and Oceanic Technology*, 19(2): 183-204
- Farrell,W.E., 1972. Global Calculation of Tidal Loading, *Nature Physical science* ,vol 238.
- Hiroshi,T.; Toshimichi,O.; Yoichi, F., 2006. Mass-redistribution-induced crustal deformation of global satellite laser ranging stations due to non-tidal ocean and